

УДК 533.15; 536.25

Ю. И. ЖАВРИН, И. В. ПОЯРКОВ, О. В. ФЕДОРЕНКО

## ВЛИЯНИЕ ДЛИНЫ ДИФФУЗИОННОГО КАНАЛА НА ИНТЕНСИВНОСТЬ КОНВЕКТИВНОГО СМЕШЕНИЯ

Теоретически исследовано влияние длины диффузионного канала на интенсивность конвективного смешения. Теоретические результаты были представлены для системы  $0,4722\text{He}+0,5278\text{Ar}-\text{N}_2$  (в качестве диффузионного канала рассматривался вертикальный цилиндр конечной высоты).

Возникновение конвективных течений при многокомпонентной диффузии определяется конкретными значениями параметров состояния: давления, исходного состава газовой смеси, температуры, вязкости и т.п. Устойчивость диффузионного процесса в многокомпонентных газовых смесях характеризуется диффузионным числом Релея, в которое входят как термодинамические параметры, так и геометрические характеристики канала, где происходит смешение. Причем влияние диаметра  $d$  и длины  $L$  диффузионного канала неоднозначно и определяется через такое понятие, как калибр  $h = L/d$ . Экспериментальные исследования изотермической диффузии, приведенные в работе [1], позволили сделать вывод, что при неизменном диаметре диффузионного канала увеличение его длины приводит к стабилизации неустойчивого диффузионного переноса, а ее уменьшение – к возникновению конвекции. В частности, для системы  $0,4722\text{He}+0,5278\text{Ar}-\text{N}_2$  при длине диффузионного канала от  $L=70,5$  мм до  $L=176,3$  мм режим смешения носит конвективный характер, а с длины больше  $L=176,3$  мм наблюдается диффузия.

Класс задач, связанный с концентрационной изотермической конвекцией, в частности с движением газовой трехкомпонентной смеси при наличии пространственной неоднородности, вызванной неоднородностью состава в поле силы тяжести, описывается системой уравнений гидродинамики, которая включает в себя уравнение движения Навье–Стокса и уравнения сохранения числа частиц смеси и компонентов:

$$\rho \left[ \frac{\partial \vec{u}}{\partial t} + (\vec{u} \nabla) \vec{u} \right] = -\nabla p + \eta \Delta \vec{u} + \left( \frac{\eta}{3} + \xi \right) \nabla \text{div} \vec{u} + \rho \vec{g},$$

$$\frac{\partial n}{\partial t} = -\text{div}(n \vec{v}), \quad (1)$$

$$\frac{\partial c_1}{\partial t} + \vec{v} \nabla c_1 = \text{div}[D_{11}^* \nabla c_1 + D_{12}^* \nabla c_2],$$

$$\frac{\partial c_2}{\partial t} + \vec{v} \nabla c_2 = \text{div}[D_{21}^* \nabla c_1 + D_{22}^* \nabla c_2],$$

где  $\vec{u} = \frac{\rho_1 \vec{u}_1 + \rho_2 \vec{u}_2 + \rho_3 \vec{u}_3}{\rho}$  – среднemasсовая скорость,  $\rho$  – плотность,  $p$  – давление,  $c_i$  и  $u_i$  – концентрация и средняя скорость  $i$ -го компонента (компоненты смеси упорядочены так, чтобы  $m_1 < m_3 < m_2$ , где  $m_i$  – масса молекулы  $i$ -го компонента),  $\vec{g}$  – ускорение силы тяжести,  $\eta$  и  $\xi$  – коэффициенты сдвиговой и объемной вязкости,  $\vec{v} = \frac{n_1 \vec{u}_1 + n_2 \vec{u}_2 + n_3 \vec{u}_3}{n}$  – среднечисловая скорость.

Уравнения (1) дополняются уравнением состояния среды

$$\rho = \rho(c_1, c_2, p), \quad T = \text{const}, \quad (2)$$

которое связывает термодинамические параметры.

Уравнения сохранения числа частиц компонентов смеси можно получить из формул [2]:

$$\begin{aligned} \frac{\partial n_1}{\partial t} &= -\text{div}(n_1 \vec{u}_1), \\ \frac{\partial n_2}{\partial t} &= -\text{div}(n_2 \vec{u}_2), \\ \frac{\partial n_3}{\partial t} &= -\text{div}(n_3 \vec{u}_3). \end{aligned} \quad (3)$$

Переходя в (3) к молярным относительным концентрациям и учитывая, что  $c_1 + c_2 + c_3 = 1$ , имеем:

$$\begin{aligned} n \frac{\partial c_1}{\partial t} + m \nabla c_1 &= -\text{div}[n_1 c_2 (\vec{u}_1 - \vec{u}_2) + n_1 c_3 (\vec{u}_1 - \vec{u}_3)], \\ n \frac{\partial c_2}{\partial t} + m \nabla c_2 &= -\text{div}[n_2 c_1 (\vec{u}_2 - \vec{u}_1) + n_2 c_3 (\vec{u}_2 - \vec{u}_3)]. \end{aligned} \quad (4)$$

Подставляя в (4) разности скоростей компонентов из уравнений Стефана–Максвелла, получаем систему уравнений в предположении, что числовая плотность  $n$  не зависит от координат:

$$\begin{aligned} \frac{\partial c_1}{\partial t} + \vec{v} \nabla c_1 &= \text{div}[D_{11}^* \nabla c_1 + D_{12}^* \nabla c_2], \\ \frac{\partial c_2}{\partial t} + \vec{v} \nabla c_2 &= \text{div}[D_{21}^* \nabla c_1 + D_{22}^* \nabla c_2], \end{aligned} \quad (5)$$

где  $D_{ij}^*$  – «практические» коэффициенты трехкомпонентной диффузии [3].

При решении системы уравнений (1), (2) применялся метод малого параметра [4,5]. Учитывая, что  $L \gg d/2$ , различия между среднечисловой скоростью  $\bar{v}$  и среднemasсовой  $\bar{u}$  в уравнении Навье–Стокса и непрерывности будут несущественны [2], окончательная система уравнений гравитационной концентрационной конвекции для возмущенных значений в безразмерных величинах имеет вид [6, 7]:

$$P_{22} \frac{\partial c_1}{\partial t} - (\bar{u}\bar{v}) = \tau_{11} \nabla^2 c_1 + \frac{A_2}{A_1} \tau_{12} \nabla^2 c_2,$$

$$P_{22} \frac{\partial c_2}{\partial t} - (\bar{u}\bar{v}) = \frac{A_1}{A_2} \tau_{21} \nabla^2 c_1 + \nabla^2 c_2, \quad (6)$$

$$\frac{\partial \bar{u}}{\partial t} = -\nabla p + \nabla^2 \bar{u} + (R_1 \tau_{11} c_1 + R_2 c_2) \bar{v}, \quad \text{div} \bar{u} = 0,$$

где  $P_{ii} = \frac{v}{D_{ii}^*}$  – диффузионное число Прандтля,

$R_i = \frac{g \beta_1 \Delta c_i d^4}{v D_{ii}^* L}$  – парциальное число Рэлея для

$i$ -го компонента,  $v$  – кинематическая вязкость,

$\tau_{ij} = \frac{D_{ij}^*}{D_{22}^*}$  – параметры, определяющие соотношение между «практическими» коэффициентами

диффузии,  $\nabla c_{i0} = -A_i \bar{v}$ ,  $\beta_i = \frac{1}{\rho_0} \left( \frac{\partial \rho}{\partial c_i} \right)_{p,T,c_j}$ ,  $\rho_0$  – средняя плотность.

Большинство экспериментальных исследований, в том числе и в работе [1], проводилось с диффузионным каналом конечной длины, в котором существенны трехмерные движения. Поэтому при аппроксимации скорости следует считать все компоненты вектора  $\bar{u}$  отличными от нуля. Рассматривая в цилиндрической системе координат периодические по  $\varphi$  движения и удовлетворяя условиям на твердых границах  $z = \pm h$ , можно записать аппроксимацию скорости в виде [4]:

$$u_z = \frac{1}{4} (h^2 - z^2)^2 u(r) \cos n\varphi,$$

$$u_r = z (h^2 - z^2) v(r) \cos n\varphi, \quad (7)$$

$$u_\varphi = z (h^2 - z^2) \omega(r) \sin n\varphi, \quad (n = 0, 1, 2, \dots).$$

Радиальные функции  $u$ ,  $v$ ,  $\omega$  должны обращаться в нуль на твердой боковой поверхности

цилиндра (при  $r = 1$ ). Из уравнения непрерывности следует соотношение, которое связывает эти функции:

$$\frac{1}{r} \frac{d}{dr} (rv) + \frac{n}{r} \omega - u = 0.$$

Причем

$$u = \frac{J_n(kr)}{J_n(k)} - r^n,$$

$$v = -\frac{1}{kJ_n(k)} \left[ J_n'(kr) - J_n'(k) r^{n+1} \right], \quad (8)$$

$$\omega = \frac{n}{k^2 J_n(k)} \left[ \frac{1}{r} J_n(kr) - J_n(k) r^{n+1} \right],$$

где  $J_n(kr)$  – функция Бесселя  $n$ -го порядка, а параметр  $k$  находится из уравнения

$$kJ_n'(k) = (n+1)J_n'(k). \quad (9)$$

Полагая для первых двух уравнений (6), что  $\frac{\partial c_i}{\partial t} = 0$ , найдем концентрации компонентов из уравнений:

$$\nabla^2 c_i = -u_z K_i, \quad i = 1, 2,$$

$$\text{где } K_1 = \frac{\left( 1 - \frac{A_2}{A_1} \tau_{12} \right)}{(\tau_{11} - \tau_{12} \tau_{21})}, K_2 = \frac{\left( \tau_{11} - \frac{A_1}{A_2} \tau_{21} \right)}{(\tau_{11} - \tau_{12} \tau_{21})}.$$

Будем считать, что  $c_i = f_i(r, z) \cos n\varphi$ , тогда

$$\frac{\partial^2 f_i}{\partial r^2} + \frac{1}{r} \frac{\partial f_i}{\partial r} - \frac{n^2}{r^2} f_i + \frac{\partial^2 f_i}{\partial z^2} =$$

$$= -\frac{1}{4} \left[ \frac{J_n(kr)}{J_n(k)} - r^n \right] (h^2 - z^2)^2 K_i. \quad (10)$$

Полагая, что на торцевых поверхностях исчезают возмущения концентраций, из (10) вытекают дополнительные условия – обращение в нуль второй производной  $\frac{\partial^2 f_i}{\partial z^2}$  на торцах. Таким образом, имеем условия при  $z = \pm h$

$$f_i = 0, \quad \frac{\partial^2 f_i}{\partial z^2} = 0. \quad (11)$$

Эти условия позволяют выбрать следующую аппроксимацию:

$$f_i(r, z) = (h^2 - z^2)(5h^2 - z^2) C_i(r), \quad (12)$$

где  $C_i(r)$  – радиальная функция концентрации.

Для определения  $C_i(r)$  применим метод Канторовича, подставляя (12) в (10), умножая на зависящую от  $z$  часть функции  $f_i(r, z)$  и интегрируя в пределах от  $-h$  до  $h$ , получаем уравнения:

$$C_i^n + \frac{1}{r} C_i^n - \left( \frac{n^2}{r^2} + \alpha^2 \right) C_i = - \frac{11}{248} \left[ \frac{J_n(kr)}{J_n(k)} - r^n \right] K_i, \quad (13)$$

где  $\alpha^2 = \frac{153}{62h^2}$ ,  $i = 1, 2$ .

При нахождении концентраций компонентов уравнения (13) решались с граничным условием  $\left. \frac{\partial C_i}{\partial r} \right|_{r=1} = 0$ , тогда конечное в центре решение имеет вид

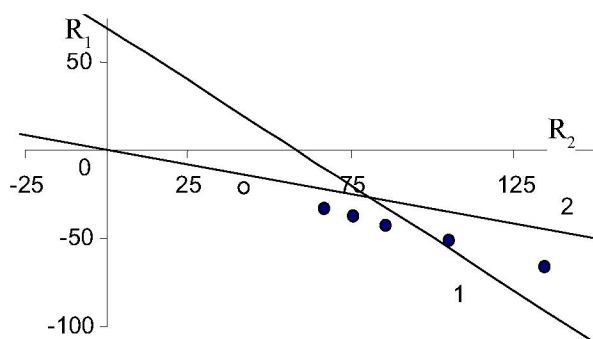
$$c_i = \frac{11K_i(h^2 - z^2)(5h^2 - z^2) \cos n\varphi}{248\alpha^2(k^2 + \alpha^2)} \times \left[ \alpha^2 \frac{J_n(kr)}{J_n(k)} + \frac{I_n(\alpha r)}{\alpha I_n(\alpha)} \left\{ n(\alpha^2 + k^2) - \alpha^2 k \frac{J'_n(k)}{J_n(k)} \right\} - (k^2 + \alpha^2)r^n \right]. \quad (14)$$

Решение системы уравнений (6) позволяет определить фазовую граничную линию в координатах  $(R_1, R_2)$ , разграничивающих области монотонных и колебательных возмущений.

Для определения границы монотонной устойчивости рассматриваемой задачи умножим скалярно третье уравнение системы (6) на вектор  $\vec{u}$  и проинтегрируем по всему объему  $V$  диффузионного канала при условиях, что  $\nabla p = 0, \frac{\partial \vec{u}}{\partial t} = 0$ :

$$\int \vec{u} \nabla^2 \vec{u} dV + R_1 \tau_{11} \int u_z c_1 dV + R_2 \int u_z c_2 dV = 0. \quad (15)$$

На рис. представлен результат численного решения уравнения (15) для системы  $0,4722\text{He} + 0,5278\text{Ar}-\text{N}_2$ . Точки, отображающие экспериментальные числа Рэлея, соответствующие неустойчивому процессу, имеют вид  $\bullet$ , а для диффузии –  $\circ$ .



Области устойчивой и неустойчивой диффузии:  
1 – линия монотонной устойчивости; 2 – линия нулевого градиента плотности;  $\bullet, \circ$  – числа Рэлея, отображающие эксперимент

В работе [8] решение системы (6) дает следующее выражение, связывающее числа Рэлея самого легкого и самого тяжелого компонентов:

$$R_1^* P_{11} + R_2^* P_{22} + \sigma^4 = R_0, \quad (16)$$

где  $R_0 = 67,95$  – обобщенное число Рэлея, названное авторами критическим числом Рэлея для ограниченного цилиндрического диффузионного канала;  $\sigma = \pi d^*$ ,  $d^* = d/L$ ;  $R_i^* = \tau_i \xi_{3i} R_i$ ;  $\tau_i = \frac{D_{ii}^*}{D_{33}^*}$ ;

$\xi_{3i} = 1 - \frac{\Delta c_{0i}}{\Delta c_{03}}$  – параметр, определяющий концентрационный фактор;  $\Delta c_{0i}$  – разность концентраций  $i$ -го компонента на границах диффузионного канала.

Соотношение (16) позволяет определить область, в которой находится система по отношению к границе устойчивости. Если левая часть выражения (16) больше, чем  $R_0$ , то система находится в области конвекции. Если левая часть выражения (16) меньше, чем  $R_0$ , то система находится в области диффузии. В табл. представлены обобщенные числа Рэлея и парциальные числа Рэлея для системы  $0,4722\text{He} + 0,5278\text{Ar}-\text{N}_2$  при варьировании длины диффузионного канала, которые были вычислены по формулам:

$$R_1 = \frac{g n r^4 \Delta m_1}{\rho \nu D_{11}^*} \cdot \frac{\partial c_1}{\partial z}, R_2 = \frac{g n r^4 \Delta m_2}{\rho \nu D_{22}^*} \cdot \frac{\partial c_2}{\partial z},$$

$$\Delta m_1 = m_1 - m_3, \Delta m_2 = m_2 - m_3. \quad (17)$$

Парциальные числа Рэлея

L, мм	Парциальные числа Рэлея		$R_1^* P_{11} + R_2^* P_{22} + \sigma^4$
	$R_1$	$R_2$	
55	-65,9	134,2	100,5
70,5	-51,4	104,7	78,4
86,5	-41,9	85,3	63,9
97,8	-37,1	75,5	56,5
110,5	-32,8	66,8	50,02
176,3	-20,6	41,9	31,4

Согласно данным табл. в системе  $0,4722\text{He} + 0,5278\text{Ar}-\text{N}_2$  конвекция наблюдается при  $L=55$  мм и  $L=70,5$  мм. Полученные расчетные данные не дают удовлетворительного согласия с экспериментом, представленным в работе [1], хотя они достаточно хорошо согласуются с результатами рисунка. Отметим, что при выводе (15) не использовалось предположение о численном значении критического числа Рэлея, равного 67,95.

Таким образом, при изотермической диффузии экспериментальные данные, представленные в работе [1], и теоретические вычисления, рассмотренные в данной статье, качественно согласуются между собой и свидетельствуют о том, что увеличение длины канала стабилизирует неустойчивый диффузионный процесс, а ее уменьшение вызывает появление конвективных течений.

#### ЛИТЕРАТУРА

1. Жаврин Ю.И., Косов В.Н. Влияние длины канала на устойчивость диффузионного процесса в многокомпонентных газовых смесях // Вестник АН КазССР. 1991. №10. С. 66-65.
2. Косов В.Н., Селезнев В.Д. Аномальное возникновение свободной гравитационной конвекции в изотермических тройных газовых смесях. Екатеринбург, 2004. 149 с.
3. Arnold K.R., Toor H.L. Unsteady diffusion in ternary gas mixture // A. I. Ch. E. Journal. 1967. V. 13, N6. P. 909-914.
4. Гершуни Г.З., Жуховицкий Е.М. Конвективная устойчивость несжимаемой жидкости. М.: Наука, 1972. 392 с.
5. Ландау Л.Д., Лифшиц Е.М. Теоретическая физика. Т. VI. Гидродинамика. М.: Наука, 1986. 733 с.
6. Kosov N.D., Zhavrin Yu.I., Kosov V.N. Formation of structures at instability diffusion in ternary gas mixtures // Inf.

conf. of the Methods of Aerophysical Research. Proceeding Part 1. Novosibirsk, 1992. P. 75-78.

7. Жаврин Ю.И., Косов В.Н. Концентрационная конвекция и диффузионная устойчивость в изотермических трехкомпонентных газовых смесях // Доклады АН РК. 1996. №3. С. 22-28.

8. Косов Н.Д., Белов С.М., Жаврин Ю.И., Косов В.Н. Исследование концентрационной конвекции изотермической двойной газовой смеси для цилиндрического диффузионного канала // Труды 1 Российской национальной конференции по теплообмену. М., 1994. Т. 2. С. 122-127.

#### Резюме

Конвективтік араласудағы қарқындылыққа диффузиялық каналдағы ұзындықтың әсеріне теориялық зерттеу келтірілген.  $0,4722\text{He}+0,5278\text{Ar-N}_2$  жүйесі үшін теориялық нәтижелер келтірілген (диффузиялық канал ретінде шектелген тік цилиндрдің биіктігі алынды).

#### Summary

The theoretical research of diffusion duct length influence on the convective mixing rate is presented. The theoretical results for the system  $0.4722\text{He}+0.5278\text{Ar-N}_2$  are adduced (a finite altitude vertical cylinder is considered a diffusion duct).

НИИ ЭТФ при КазНУ им. аль-Фараби,  
г. Алматы;  
КазНУ им. аль-Фараби,  
г. Алматы

Поступила 31.01.05 г.